

НАКЛОННОЕ ПАДЕНИЕ ЭЛЕКТРОМАГНИТНОЙ ВОЛНЫ  
НА ПАРАБОЛИЧЕСКИЙ ПЛАЗМЕННЫЙ СЛОЙ

B. P. Смиллянский

(Новосибирск)

Рассмотрено наклонное падение гармонической электромагнитной волны с электрическим вектором, лежащим в плоскости падения, на параболический слой плоско-слоистой изотропной плазмы. Получены коэффициенты отражения и прохождения, а также коэффициент трансформации электромагнитной волны в плазменную.

1. Рассмотрим наклонное падение гармонической волны с электрическим вектором, лежащим в плоскости падения, на параболический слой плоско-слоистой изотропной плазмы. В этом случае электрическое и магнитное поля в плазме описываются следующими уравнениями [1]:

$$H_x = G(z) e^{i(\omega t - \Omega x_0 y)}, \quad E_y = -\frac{i}{\Omega \epsilon'} \frac{\partial H_x}{\partial z}, \quad E_z = \frac{i}{\Omega \epsilon'} \frac{\partial H_x}{\partial y} \quad (1.1)$$

$$\frac{d^2 G}{dz^2} - \frac{1}{\epsilon'} \frac{d\epsilon'}{dz} \frac{dG}{dz} + \Omega^2 (\epsilon' - \alpha_0^2) G = 0 \quad \left( \Omega = \frac{\omega}{c}, \quad \omega = 2\pi f \right) \quad (1.2)$$

$$\epsilon' = 1 - \frac{f_*^2}{f^2} \left( 1 - \frac{z^2}{z_m^2} \right) - i s, \quad \alpha_0 = \sin \theta_0, \quad i = \sqrt{-1} \quad (1.3)$$

Здесь  $f$  — частота,  $c$  — скорость света,  $\theta_0$  — угол падения волны на слой,  $\epsilon'$  — комплексная диэлектрическая проницаемость,  $f_*$  — критическая частота,  $z_m$  — полутолщина слоя. Поглощение  $s$  будем считать постоянным вдоль слоя. Случай линейного слоя детально рассмотрен в [2]. В [3] частично рассмотрен случай нуля второго порядка ( $s = 0$ ,  $f = f_*$ ,  $\epsilon' = \epsilon = z^2 / z_m^2$ ). Однако в [3] поля рассматривались в основном вблизи  $\epsilon' = 0$ . Коэффициенты же отражения и прохождения не вычислены явно и не проанализированы. Так как для  $\epsilon' = z^2 / z_m^2$  волновое уравнение может быть решено точно, то получение этих коэффициентов представляет особый интерес. Поэтому он рассматривается первоначально.

2. Рассмотрим частный случай

$$\epsilon' = \epsilon = z^2 / z_m^2, \quad s = 0, \quad f = f_*$$

При указанных предположениях уравнение (1.2) типа

$$\frac{d^2 G}{dz^2} + \frac{Q}{z} \frac{dG}{dz} + (a + bz^2) G = 0 \quad (2.1)$$

В данном случае произвольные параметры  $Q$ ,  $a$ ,  $b$  принимают значения

$$Q = -2, \quad a = -\Omega^2 \alpha_0^2, \quad b = \omega_*^2 / c^2 z_m^2, \quad \omega_* = 2\pi f_*$$

Его решения  $G^{(1)}$ ,  $G^{(2)}$  можно выразить через функции Уиттекера [4]

$$\begin{aligned} G^{(1)}(i\tau) &= e^{-i\pi\eta} (i)^{\eta} \tau^{1/4} W_{-\eta, \mu}(i\tau e^{-i\pi}) \sim \tau^{1/2} r_1 e^{i/2 i\tau} (1 + O(\tau^{-1})) \quad (|\tau| \rightarrow \infty) \\ G^{(2)}(i\tau) &= (i)^{-\eta} \tau^{1/4} W_{\eta, \mu}(i\tau) \sim \tau^{1/2} r_2 e^{-i/2 i\tau} (1 + O(\tau^{-1})) \quad (|\tau| \rightarrow \infty) \end{aligned} \quad (2.2)$$

$$\tau = z^2 b^{1/2} = 2\pi z^2 / \lambda_* z_m, \quad \lambda_* = c / f_*$$

$$\eta = 1/4(r_2 - r_1), \quad \mu = 1/4(\rho_1 - \rho_2), \quad r_{1,2} = 1/2(1 \pm iab^{-1/2})$$

Здесь  $\rho_1, \rho_2$  характеризуют поведение решений в окрестности регулярной особой точки уравнения  $z = 0$  и могут быть найдены из определяющего уравнения

$$\rho(\rho - 1) + \rho Q = 0 \quad (2.3)$$

Если падающая волна распространяется со стороны  $z < 0$ , то  $G^{(2)}$  при  $z > 0$  описывает прошедшую волну. Соответственно при  $z < 0$   $G^{(2)}$  — отраженная волна,  $G^{(1)}$  — падающая. Исходя из формул 9.120, 9.231 (2), 9.232 работы [4], можно получить<sup>1</sup>

$$(2.4) \quad W_{\eta, \mu}(ze^{\pm i2\pi}) = \frac{2\pi ie^{-i\pi\eta} W_{-\eta, \mu}(ze^{-i\pi})}{\Gamma(1/2 + \mu - \eta) \Gamma(1/2 - \mu - \eta)} - (q_{\pm} 2\cos 2\pi\mu + e^{-i2\pi\eta}) W_{\eta, \mu}(z)$$

$$q_+ = 1, \quad q_- = 0 \quad (\Gamma — гамма-функция)$$

С помощью (2.2) и (2.4) получается следующая связь между решениями  $G^{(1)}, G^{(2)}$  на положительной и отрицательной полуосах  $z$

$$G^{(2)}(i\tau e^{\pm i2\pi}) = -\frac{2\pi(i)^{-2\eta} G^{(1)}(i\tau)}{\Gamma(1/2 + \mu - \eta) \Gamma(1/2 - \mu - \eta)} - i(q_{\pm} 2\cos 2\pi\mu + e^{-i2\pi\eta}) G^{(2)}(i\tau)$$

Формула (2.5), в частности, дает связь между асимптотическими решениями уравнения (2.1) на положительной и отрицательной полуосах  $z$ , при  $|\tau| \rightarrow \infty$ . Как видно из (2.5), характер связи зависит от направления полубокса точки  $z$  (по верхней ( $q_+$ ) или нижней ( $q_-$ ) полуплоскостям комплексной  $z$ -плоскости). Это объясняется тем, что решения в  $z = 0$  имеют, вообще говоря, точку разветвления. Поэтому в общем случае возникает задача о правильном выборе направления обхода (см. п. 4,5). Из (2.5) получаются следующие выражения для амплитудных коэффициентов отражения  $R$  (отношение амплитуды отраженной волны к амплитуде падающей) и прохождения  $D$

$$D = (2\pi)^{-1} e^{i\pi(\eta-1)} \Gamma(1/2 + \mu - \eta) \Gamma(1/2 - \mu - \eta)$$

$$R = e^{i\pi/2} (q_{\pm} 2\cos 2\pi\mu + e^{-i2\pi\eta}) D \quad (2.6)$$

В рассматриваемом случае:  $Q = -2, \mu = 3/4, \cos 2\pi\mu = 0$ , т. е. направления обхода равнозначны. Подставляя в (2.6) конкретные выражения  $Q, a, b$ , а также используя известные свойства Г-функций (см. [4], формулы 8.331, 8.335 (1), 8.332 (2)) можно получить следующие выражения для коэффициентов отражения  $|R|^2$  (отношение интенсивностей отраженной и падающей волн) и пропускания  $|D|^2$

$$|R|^2 = \frac{e^h}{1 + e^h}, \quad |D|^2 = \frac{1}{1 + e^h}, \quad h = 2\pi^2 \frac{z_m}{|\lambda_*|} \alpha_0^2 \quad (2.7)$$

Отсюда видно, что при  $s = 0$  и  $f = f_*$  поглощения в районе полюса не происходит ( $|R|^2 + |D|^2 = 1$ ) и наличие бесконечной амплитуды электрического вектора ( $|E_z| \sim 1/z^2, |E_y| \sim 1/z$  при  $z \rightarrow 0$ ) нужно рассматривать как результат переходного процесса [1]. Заменой  $G = w e^{i\pi/2}$  уравнение (2.1) приводится к виду

$$\frac{d^2w}{dz^2} + q^2 w = 0, \quad q^2 = -\frac{2}{z^2} + \frac{\omega_*^2}{c^2} \left( \frac{z^2}{z_m^2} - \alpha_0^2 \right)$$

<sup>1</sup> В [3] приведена формула для  $W_{\eta, \mu}(ze^{i2\pi})$ , и в ней, видимо из-за опечатки, во втором члене записано  $e^{i2\pi\eta}$ .

Кривая  $q^2(z)$  показана на фиг. 1. В приведенном выше расчете не учитывалось отражение от скачка  $de/dz$  в точках  $z = \pm z_m$ . Это законно, когда  $(z_m - z_0)/\lambda_* \gg 1$  (фиг. 1) и переход к  $\varepsilon = 1$  может быть соответствующим образом сглажен. Это условие формально ограничивает применимость (2.7) для больших  $\theta_0$ . Однако практически полное отражение от слоя наступает при таких  $\theta_0$ , при которых (2.7) еще справедливо. Если, например, для  $z_m/\lambda_* = 10$  потребовать  $(z_m - z_0)/z_m \geq 1/2$ , то должно выполняться условие  $\theta_0 \leq 30^\circ$  ( $h \leq 48,8$ ). Фактически полное отражение происходит при  $\theta_0 < 30^\circ$ .

3. Рассмотрим связь между асимптотическими решениями в общем случае. Для параболического слоя уравнение (1.2) имеет вид

$$\frac{d^2G}{dz^2} - \left( \frac{1}{z+z_1} + \frac{1}{z-z_1} \right) \frac{dG}{dz} + \Omega^2 [u^2(z^2 - z_1^2) - \alpha_0^2] G = 0$$

$$z_1^2 = z_m^2 \left[ 1 - \frac{f_*^2}{f^2} (1 - is) \right], \quad u^2 = \frac{f_*^2}{f^2 z_m^2} \quad (3.1)$$

В более общей форме это уравнение типа

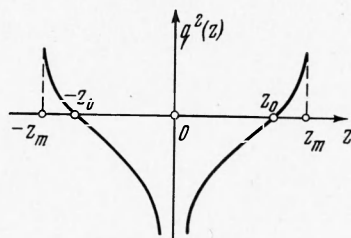
$$\frac{d^2G}{dz^2} + \frac{Qz}{z^2 - z_1^2} \frac{dG}{dz} + (a + bz^2) G = 0 \quad (3.2)$$

где  $Q, a, b$  — произвольные параметры. При  $z_1 = 0$  оно переходит в уравнение (2.1), которое является частным случаем (3.2). Сравним эти два уравнения.

Уравнение (2.1) не меняется при замене  $z$  на  $ze^{i\pi}$ . Оно имеет две особые точки: существенно особую в  $z = \infty$  и регулярную особую точку в  $z = 0$ . Его асимптотические решения (см. (2.2)) при больших  $|\tau|$  для  $z > 0$  и  $z < 0$  связаны между собой выражением (2.5). Как видно из (2.5) множители при асимптотических решениях зависят только от параметров  $\rho_{1,2}, r_{1,2}$ , характеризующих особые точки ( $\mu = 1/4(\rho_1 - \rho_2)$ ;  $\eta = 1/4(r_2 - r_1)$ ). Влияние полюса в  $z = 0$  (а следовательно, особой точки решений) на эту связь проявляется только через изменение  $\mu$ . Так, если положить в (2.1)  $Q = 0$ , т. е. рассматривать уравнение без полюса, то в (2.5) нужно подставить  $\mu = 1/4$ , так как в этом случае  $\rho_1 = 1, \rho_2 = 0$ . При этом  $r_{1,2}$  и  $\eta$  не изменяются.

Уравнение (3.2) также не меняется при замене  $z$  на  $ze^{i\pi}$ . Оно также имеет существенно особую точку в  $z = \infty$ , причем его асимптотические решения при больших  $|\tau|$  ( $|z| > |z_1|$ ) имеют такие же главные члены, как и для уравнения (2.1), т. е.  $\tau^{1/zr_{1,2}} e^{\pm 1/z\tau}$ , и характеризуются такими же  $r_{1,2} = 1/2(1 \pm iab^{-1/2})$  [5]. Единственное его отличие от (2.1) в том, что оно имеет два простых полюса в точках  $z = \pm z_1$ , сливающиеся в один, тоже простой, полюс при  $z_1 \rightarrow 0$ , или, другими словами, две регулярные особые точки  $z = \pm z_1$ , сливающиеся в одну, тоже регулярную, особую точку при  $z_1 \rightarrow 0$ . По существу, уравнения (2.1) и (3.2) одного типа.

Поэтому естественно предположить, что для уравнения (3.2) связь между асимптотическими решениями дается тем же выражением (2.5), что и для уравнения (2.1), но с заменой  $\mu$  на  $\mu'$ , где параметр  $\mu'$  должен характеризовать две регулярные особые точки ( $z = \pm z_1$ ) в таком же отношении, в каком  $\mu$  характеризует одну регулярную особую точку ( $z = 0$ ).



Фиг. 1

Очевидно, что  $\mu'$  зависит от  $z_1$  и  $\mu' = \mu$  при  $z_1 = 0$ . Соответственно в общем случае амплитудные коэффициенты отражения  $R$  и прохождения  $D$  описываются выражениями (2.6) с заменой в них  $\mu$  на  $\mu'$ . Таким образом, задача сводится к определению  $\mu'$ . Заметим, что условие  $|z| > |z_1|$  приводит к условию  $|z_1| < z_m$ , что накладывает ограничения на область рассматриваемых частот.

Уравнение (3.1) заменой  $G = w(z^2 - z_1^2)^{1/2}$  приводится к виду

$$\begin{aligned} \frac{d^2w}{dz^2} + \left\{ -\frac{3}{4} \frac{1}{(z-z_1)^2} - \frac{11}{4z_1(z-z_1)} - \frac{3}{4} \frac{1}{(z+z_1)^2} + \right. \\ \left. + \frac{1}{4z_1(z+z_1)} + \Omega^2 [u^2(z^2 - z_1^2) - \alpha_0^2] \right\} w = 0 \end{aligned} \quad (3.3)$$

Его решения в окрестности точек  $z = \pm z_1$

$$\begin{aligned} y_1 = (z - z_1)^{\rho_1} \sum_{k=0}^{\infty} C_k(z_1) (z - z_1)^k, \quad x_1 = (z + z_1)^{\rho_1} \sum_{k=0}^{\infty} (-1)^k C_k(z_1) (z + z_1)^k \\ y_2 = r y_1 \ln(z - z_1) + (z - z_1)^{\rho_2} \sum_{k=0}^{\infty} d_k(z_1) (z - z_1)^k \\ x_2 = r x_1 \ln(z + z_1) + (z + z_1)^{\rho_2} \sum_{k=0}^{\infty} (-1)^k d_k(z_1) (z + z_1)^k \end{aligned} \quad (3.4)$$

$$\rho_1 = 3/2, \quad \rho_2 = -1/2, \quad C_0 = 1, \quad d_0 = -1/2, \quad r = -\Omega^2 \alpha_0^2 / 4$$

где  $r$  — определено методом Фробениуса. Как легко показать из рекуррентных соотношений, коэффициент  $C_k(z_1)$  является четной функцией  $z_1$ , если  $k$  четно, и нечетной, если  $k$  нечетно. Для вывода  $\mu'$  удобно воспользоваться матричной символикой. Обозначим

$$Y = \begin{vmatrix} y_1 \\ y_2 \end{vmatrix}, \quad X = \begin{vmatrix} x_1 \\ x_2 \end{vmatrix} \quad (3.5)$$

Линейно независимые решения  $Y$  после обхода обеих особых точек по контуру 1 (см. фиг. 2) перейдут в решении  $Y''$ , причем

$$Y'' = CY, \quad C = \|c_{jk}\|$$

где  $C$  — неособая постоянная матрица. В принципе можно выбрать такую пару решений

$$V = \begin{vmatrix} v_1 \\ v_2 \end{vmatrix}, \quad V = BY$$

( $B$  — постоянная неособая матрица), что после обхода по контуру 1 либо

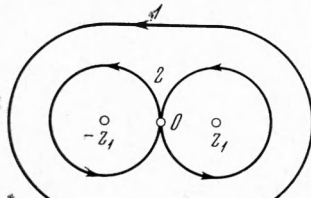
$$v_1'' = \xi_1' v_1, \quad v_2'' = \xi_2' v_2$$

(если  $C$  подобна диагональной матрице), либо

$$v_1'' = \xi_1' v_1, \quad v_2'' = c_{21} v_1 + \xi_2' v_2$$

(если  $C$  не подобна диагональной матрице). Причем  $\xi_1', \xi_2'$  есть характеристические числа матрицы  $C$ , т. е. могут быть найдены из уравнения

$$\begin{vmatrix} c_{11} - \xi' & c_{12} \\ c_{21} & c_{22} - \xi' \end{vmatrix} = 0 \quad (3.6)$$



Фиг. 2

Матрица  $C$  зависит от выбора конкретной пары решений, а  $\xi_1'$ ,  $\xi_2'$  — нет. Числа  $\xi_1'$ ,  $\xi_2'$  определяются только характером особых точек. Если аналогичное построение провести для одной особой точки и найти соответствующие характеристические числа  $\xi_1$ ,  $\xi_2$  то, как известно [6]

$$\rho_1 = \frac{\ln \xi_1}{2\pi i} + n_1, \quad \rho_2 = \frac{\ln \xi_2}{2\pi i} + n_2, \quad \mu = \frac{1}{4} \left( \frac{1}{2\pi i} \ln \frac{\xi_1}{\xi_2} + (n_1 - n_2) \right)$$

где  $n_1$ ,  $n_2$  — некоторые целые числа. Поэтому для двух особых точек

$$\mu' = \frac{1}{4} \left( \frac{1}{2\pi i} \ln \frac{\xi_1'}{\xi_2'} + l \right) \quad (3.7)$$

Значение целого числа  $l$  должно быть выбрано из условия  $\mu'(z_1) = \mu$  при  $z_1 = 0$  (см. ниже). Для нахождения  $C$  заметим, что

$$Y' \equiv Y((z - z_1)e^{i2\pi}) = TY(z - z_1) \quad (3.8)$$

$$X' \equiv X((z + z_1)e^{i2\pi}) = TX(z + z_1)$$

$$Y = AX, \quad T = \|t_{jk}\|, \quad t_{11} = t_{22} = e^{i2\pi\rho_1}, \quad t_{21} = i2\pi r e^{i2\pi\rho_1}, \quad t_{12} = 0$$

а элементы  $\alpha_{jk}$  матрицы  $A$  (связывающей решения  $X$  с решениями  $Y$ ) могут быть определены из следующих уравнений:

$$Y_{z=0} = AX_{z=0}, \quad \frac{dY}{dz}_{z=0} = A \frac{dX}{dz}_{z=0} \quad (3.9)$$

Обход обеих особых точек по контуру 2 (фиг. 2) эквивалентен обходу по контуру 1. Начиная с точки  $z = 0$ , обойдем  $z = z_1$  решениями  $Y$  по правой петле контура 2. Это дает  $Y' = TY = TAX$ . Обходя далее  $z = -z_1$  решениями  $Y'$  по левой петле и пользуясь (3.8), имеем

$$C = TATA^{-1} \quad (3.10)$$

Подстановка (3.10) в (3.6) дает

$$\xi'^2 - \left( 2 + \frac{\alpha_{12}^2 4\pi^2 r^2}{\det A} \right) \xi' + 1 = 0 \quad (3.11)$$

В итоге, пользуясь симметрией коэффициентов в  $Y$  и  $X$  (см. (3.4)), имеем

$$\mu' = \frac{1}{8\pi i} \ln \kappa + \frac{l}{4}, \quad \kappa = \frac{2-g+\sqrt{g(g-4)}}{2-g-\sqrt{g(g-4)}}, \quad g = (4\pi r)^2 \left( x_1 \frac{dx_1}{dz} \right)_{z=0}^2$$

Как видно из (3.4),  $g(z_1) = 0$  при  $z_1 = 0$ . Поэтому для выполнения условия  $\mu_{z_1=0}' = \mu$  нужно положить  $l = 3$ . Как видно из предыдущего,  $\mu'$  является сложной функцией  $f^2$ ,  $f_*^2$ ,  $z_m^2$ ,  $\alpha_0^2$ ,  $c^2$ . Так как  $g_{z_1=0} = 0$  и так как  $z_1$  определяет расстояние между полюсами, то имеет смысл представить  $g$  в виде ряда по степеням  $z_1$ . Учитывая, что сами  $C_k$  (см. (3.4) зависят от  $z_1$ , и перегруппировывая члены, имеем

$$\begin{aligned} \sum_{k=0}^{\infty} (-1)^k C_k(z_1) z_1^k &= v_0 + v_1 z_1^2 + v_2 z_1^4 + \dots \\ v_0 &= \sum_{k=0}^{\infty} v_{0k}, \quad v_1 = \sum_{k=2}^{\infty} v_{1k}, \quad v_2 = \sum_{k=3}^{\infty} v_{2k} \quad (3.13) \\ v_{0n} &= -\frac{1}{n(n+2)} \left[ \sum_{k=0}^{n-1} v_{0k} p_{(n-k)} \right], \quad v_{1n} = -\frac{1}{n(n+2)} \left[ \sum_{k=2}^{n-1} v_{1k} p_{(n-k)} + \beta_2 v_{0,(n-2)} \right] \end{aligned}$$

$$\begin{aligned} v_{2n} &= -\frac{1}{n(n+2)} \left[ \sum_{k=3}^{n-1} v_{2k} p_{(n-k)} + \beta_2 v_{1,(n-2)} + \beta_3 v_{0,(n-3)} + \beta_4 v_{0,(n-4)} \right] \\ v_{00} &= 1, \quad v_{12} = \Omega^2 \alpha_0^2 / 8, \quad v_{23} = 2/15 \Omega^2 u^2 \\ p_k &= -(3k-5)2^{-(k+2)}, \quad \beta_2 = -\Omega^2 \alpha_0^2, \quad \beta_3 = -2\Omega^2 u^2, \quad \beta_4 = \Omega^2 u^2 \end{aligned}$$

где  $v_0, v_1, v_2\dots$  уже не зависят от  $z_1$ . Анализ выражений для  $v_{0n}, v_{1n}, v_{2n}$  и численные подсчеты показывают, что, начиная с некоторого  $n$ ,  $v_{0n}$ , и числовые коэффициенты в  $v_{1n}, v_{2n}$  уменьшаются с ростом  $n$  не медленнее, чем члены геометрической прогрессии со знаменателем  $1/2$ . Это позволяет при вычислении  $v_0, v_1, v_2$  ограничиться несколькими членами ряда и оценить остаток. В результате получается ряд

$$\begin{aligned} g &= (4\pi r)^2 z_1^4 [1.7776 + 1.6011 \alpha_0^2 \Omega^2 z_1^2 +] \\ &\quad + (0.5942 \alpha_0^4 \Omega^4 + 1.2168 \Omega^2 u^2) \times z_1^4 + \dots \end{aligned} \quad (3.14)$$

Изложенная выше схема определения связи между асимптотическими решениями может быть применена к более общему уравнению

$$\frac{d^2y}{dz^2} + \left[ \frac{Q_1 z}{z^2 - z_1^2} + a_1 z \right] \frac{dy}{dz} + \left[ \frac{Q_2 z^2}{(z^2 - z_1^2)^2} + \frac{Q_3}{z^2 - z_1^2} + a + bz^2 \right] y = 0 \quad (3.15)$$

где  $Q_1, Q_2, Q_3, a_1, a, b$  — произвольные параметры.

4. Для уравнения (3.1)

$$\eta = \gamma + i\delta, \quad \gamma = -\frac{\pi}{2} \frac{z_m}{\lambda_*} \frac{f_*^2}{f^2} s, \quad \delta = \frac{\pi}{2} \frac{z_m}{\lambda_*} \left( 1 - \frac{f_*^2}{f^2} + \alpha_0^2 \frac{f_*^2}{f^2} \right) \quad (4.1)$$

Исследуем  $\mu'$ . Из указанных выше свойств симметрии  $C_h(z_1)$  относительно  $z_1$ , а также из (3.4), (3.12) следует, что  $g \geq 0$  при  $s = 0$ . Пусть  $s = 0$  и  $0 \leq g \leq 4$ . Тогда (см. (3.12))  $|x| = 1$ ,  $0 \leq \arg x \leq 2\pi$  и соответственно  $3/4 \leq \mu' \leq 1$ , т. е. при указанном изменении  $g$  переменная под знаком логарифма совершает обход точки разветвления логарифма и данная ветвь переходит в другую. Поэтому при  $g > 4$  нужно брать  $\ln x + i2\pi$ . Пусть  $s = 0, g \geq 4$ . В этом случае  $|x| > 1$ ,  $\arg x = 0$  и с учетом сказанного выше  $\mu' = 1 + i\psi$ , где  $\psi \geq 0$ .

Для выбора направления обхода полагаем

$$s = 0, \quad 0 \leq g \leq 4 \quad (3/4 \leq \mu' \leq 1)$$

Для этого случая из (2.6) с помощью формулы 8.334.2 работы [4] имеем

$$|D|^2 = \frac{1}{4} \frac{e^{-2\pi\delta}}{\cos^2 \pi\mu' + \sin^2 \pi\delta}, \quad |R|^2 = |D|^2 (q \pm 2 \cos 2\pi\mu' + e^{2\pi\delta})^2 \quad (4.2)$$

Простая проверка полученных формул показывает, что для  $3/4 \leq \mu' \leq 1$  имеем  $|R|^2 + |D|^2 \geq 1$  при обходе по верхней полуплоскости и  $|R|^2 + |D|^2 \leq 1$  при обходе по нижней полуплоскости, причем в обоих случаях  $|R|^2 + |D|^2 = 1$  только для  $\mu' = 3/4$ . Отсюда следует, что физически правильный результат дает обход по нижней полуплоскости. Поэтому правильные выражения для  $R$  и  $D$  в общем случае

$$D = (2\pi)^{-1} e^{i\pi(n-1)} \Gamma(1/2 + \mu' - \eta) \Gamma(1/2 - \mu' - \eta), \quad R = D e^{-i2\pi(n-3/4)} \quad (4.3)$$

Для случая  $s = 0, g \geq 4, (\mu' = 1 + i\psi)$  из (4.3) с помощью формул 8.331 и 8.332.2 работы [4] имеем

$$|D|^2 = \frac{1}{2} \frac{0.25 - (\psi - \delta)^2}{0.25 + (\psi + \delta)^2} \frac{e^{-2\pi\delta}}{\cosh 2\pi\psi + \sinh 2\pi\delta}, \quad |R|^2 = |D|^2 e^{4\pi\delta}$$

Если предположить  $s = 0$  и  $\eta = 0$  ( $f = f_* / \cos \theta_0$ ), то возможно дальнейшее упрощение выражений для  $R$  и  $D$

$$D = -\frac{1}{2 \cos \mu'}, \quad R = -iD \quad (4.5)$$

Величина  $|F|^2 = 1 - |R|^2 - |D|^2$  при  $s = 0$  характеризует относительную долю энергии, которая поглощается в районе полюса. (Как видно из (4.2), (4.4), (4.5),  $|F|^2 = 0$  только при  $\mu' = 3/4$ ). Поскольку именно в районе полюса ( $\epsilon' = 0$ ,  $s = 0$ ) происходит трансформация электромагнитной волны в плазменную (см. [1]), то для волн малой амплитуды утечку энергии в районе полюса при  $s = 0$  можно объяснить трансформацией. С другой стороны, сам полюс возникает, если пренебречь пространственной дисперсией и следовательно отражает в предельном случае влияние отброшенных членов. Поэтому  $|F|^2$  при  $s = 0$  можно рассматривать как коэффициент трансформации электромагнитной волны в плазменную. Как видно из (1.1), (1.2), (1.3), (3.3), (3.4),  $H_x$  конечно в  $z = \pm z_1$ , в то время как величины  $E_y$ ,  $E_z$  обращаются в этих точках в бесконечность как  $(z + z_1)^{-1}$ .

Из вида асимптотических решений, а также из (4.3) следует, что сдвиг фаз  $\varphi$  между отраженной и падающей волнами в начале слоя ( $z = -z_m$ )

$$\varphi = 2\pi \frac{z_m}{\lambda_*} - 2\delta \ln 2\pi \frac{z_m}{\lambda_*} + \pi\gamma - \frac{\pi}{2} - \arg \Gamma(1/2 + \mu' - \eta) \Gamma(1/2 - \mu' - \eta)$$

Отсюда при помощи формулы 8.362.1 работы [4] можно найти «время группового запаздывания»  $\Delta t_{**}$

$$\begin{aligned} \Delta t_{**} = & \frac{d\varphi}{d\omega} = -2 \frac{d\delta}{d\omega} \ln 2\pi \frac{z_m}{\lambda_*} + \pi \frac{d\gamma}{d\omega} - \\ & - \operatorname{Im} 2 \left\{ \mu' \frac{d\mu'}{d\omega} \sum_{k=0}^{\infty} \frac{1}{\chi_k} + \left[ 0,577215 + \frac{\sigma}{\chi_0} - \sum_{k=1}^{\infty} \frac{\chi_0 + k\sigma}{k\chi_k} \right] \frac{d\eta}{d\omega} \right\} \quad (4.6) \\ \sigma = & 1/2 - \eta, \quad \chi_k = (\sigma + k)^2 - \mu'^2 \end{aligned}$$

5. Как видно из изложенного выше, характерной особенностью задач с волновым уравнением, имеющим полюса первого или второго порядка, или, точнее, конечное число регулярных особых точек в конечной части  $z$ -плоскости, является неоднозначность результатов. Устранить эту неоднозначность в общем случае можно следующим приемом. Выбирается решение на положительной (отрицательной) полусоси  $z$  вне области, где расположены все полюсы уравнения. Далее совершается обход всей этой области по нижней и верхней полуплоскостям на отрицательную (положительную) полуось  $z$ . Эти пути, вообще говоря, неэквивалентны. Один из путей отбрасывается по физическим соображениям (например, он дает  $|R| > 1$  или  $(|R|^2 + |D|^2) > 1$  и т. д.). С учетом сказанного,  $R$ ,  $D$  и т. д. однозначно определяются параметрами волнового уравнения.

Автор благодарит Р. З. Сагдеева за обсуждение и А. А. Галеева и А. М. Фридмана за обсуждение результатов.

Поступила 28 V 1968

#### ЛИТЕРАТУРА

- Гинзбург В. Л. Распространение электромагнитных волн в плазме. М., «Наука», 1967.
- Денисов Н. Г. Об одной особенности поля электромагнитной волны, распространяющейся в неоднородной плазме. ЖЭТФ, 1956, т. 31, вып. 4.
- Förgestring K. und Wüste H. O. Über die Entstehung von Oberwellen in der Ionosphäre. J. Atm. Terr. Phys., 1951, Bd. 2, Nr. 1.
- Градштейн И. С., Рыжик И. М. Таблицы интегралов, сумм, рядов и произведений. М., Физматгиз, 1963.
- Айнс Э. Л. Обыкновенные дифференциальные уравнения. Харьков, Гостехиздат, 1939.
- Смирнов В. И. Курс высшей математики, ч. 2. М., Гостехиздат, 1956, т. 3.